

つり橋の空力応答に関する2,3の考察

徳島大学工学部 正員 宇都宮英彦
京都大学大学院 学生員 ○岡南 博矢
松尾橋梁 K.K. 尾島 晓

1. まえがき

構造物の動的解析手法の発達に伴い、長大構造物の空力応答に関する考察が進められ、その実験的手法の進歩と共に、従来の定性的な現象の把握からさらに進んで、流れの場も含めた厳密な検討が行われている。本報告は、鹿児島県鴨川市に建設された小鳴門橋の耐風性能を検討する研究の一環として行われたものであり、トラス補剛打つり橋に、歩道橋を添架することによる耐風性能の影響を、風洞実験とアナロケシミュレーションによって検討したものである。

2. 実験的考察

(静的空気力)

風洞実験は徳島大学工学部機械工学科に設置された、BD-700-2.5-20型吹出し式風洞(島津製作所)を用いて行われた。模型は小鳴門橋断面を原形とした部分模型(1/10)である。風速はピト管とデッキンゲン型マノメータによって測定し、三合力の測定には3-CB-IIA型天秤(島津製)を用いた(写真-1)。図-1は

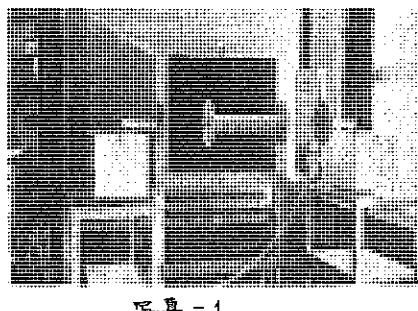


写真-1

添架した歩道橋の位置を示すものであり、歩道橋は片持架形式で主構に連結されるものとする。測定された差圧の一例を図-2に示す。また迎角の度合付近での揚力係数曲線の勾配(dc_L/dc_α) $_{\alpha=0}$ の値は、下に示す通りである。

Model	T	T0	TU	TM	TL	Plate
$(dc_L/dc_\alpha)_{\alpha=0}$	3.74	2.87	1.60	2.90	3.34	4.70

通常トラス形式のつり橋では、その充実率が小さい場合、平板と同等の空気力が作用するものと仮定して解析するのであるが、理想的な平板の(dc_L/dc_α) $_{\alpha=0}$ が2.0であり、また有限の厚みをもつもので、本実験では4.70となるが、これらと比較してもかなり小さな値となっている。小鳴門橋の充実率は40%弱と大きく、このような場合には、平板としての解析を行うことは、相当に危険であることが予想される。

(動的実験)

縮尺部分模型による振動実験は、定常風と、格子によつて生成された変動風に対して行われた。変動風の測定は、熱線風速計を用いて行った。

○限界風速の測定

図-1に示された模型に対し、フランジャー振動実験を行い、定常振幅曲線とフランジャー限界風速を求めた。各模型のフランジャー終止風速は表-1に示す通りである。この結果より、歩道橋を添架する場合には、その取付け位置は、補剛トラスの上下弦材の中間に置(TM型)に設けるのが耐風性能上最適であると言える。縮尺模型に対して、実験的に求められた限界風速を実橋に換算すると、T, TMに対して、振動数比2.35に対するものを外挿法で求めると、いずれも18m/secと

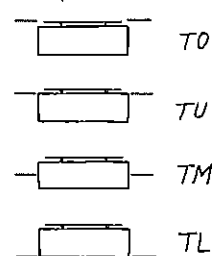


図-1 模型断面

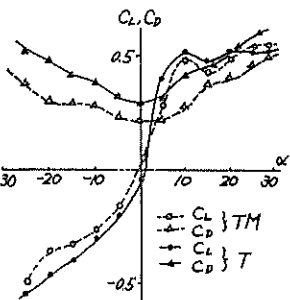


図-2 空気力係数曲線

なり。筋走率を考慮すれば $V_{cr} = 18/\pi = 15.15 \text{ m/sec}$ となる。これに、自然風の迎角の影響等を考慮するか、最も安全側を見て、この値の6割程度、約 90 m/sec が限界風速となる。

○乱れた流れの中での応答

風洞吹出口に設けた格子によって乱流を発生させ、

この気流中での空気力および応答を測定した。⁽¹⁾ 自由振動法によつて測定された $dc/d\alpha$ の値は、静止模型では、3.74 であったが、振動状態では $k = 0.2$ のとき 1.95 となつた。左力弹性力学計算された、動的効果を定める係数は Theodorsen⁽²⁾ では $C(k) = C(0.2) = 0.951$ 、Sears⁽³⁾ によれば $S(k) = S(0.2) = 0.718$ であり、3.74 との積を取りればいすれも実験値より大きい。実験値では位相差を考慮していないためにこのような差が生じたものと思われる。

2種類の格子による乱れの強さは 4% および 8% であったが、この乱流中のフラッターフレード振動実験の結果は、フラッターフレード限界風速、終止風速とともに、定常風中の応答に比較して有意な差は認め難かつた。ただし、にわみ応答に乱れの影響が大きく現われていることは、前回の附表(シミュレーションによる)で指摘された通りである。本実験における乱流は、高周波ホワイトノイズのスペクトルを有しており、模型への影響は際立つた特性を示さなかつたと考えられる。

3. 準定常空気力による応答のアナログシミュレーション

実験に用いた振動系に対応する運動方程式は、にわみかよび回転変位を θ 、 $\dot{\theta}$ とするとき、動的効果を Theodorsen 係数によって修正した準定常空気力によつて、

$$m\ddot{\theta} + C_d\dot{\theta} + R_d\cdot\theta = -PBT^2 [|C(k)| (C_L + C_D \frac{\dot{\theta}}{V}) + 4(\frac{dC_R}{d\theta}|_{k=0}) (1 + |C(k)|) \frac{b\dot{\theta}}{V}] \\ I\ddot{\theta} + C_a\dot{\theta} + R_a\cdot\theta = 2PB^2 V^2 [|C(k)| \frac{C_L}{V} - (\frac{dC_R}{d\theta}|_{k=0}) (1 - |C(k)|) \frac{b\dot{\theta}}{V}]$$

m : 模型質量、 I : 模型慣性モーメント、 C_d, C_a : 減衰定数、 R_d, R_a : 阻性、 P : 空気密度

b : 模型幅員、 C_L, C_D : 実験的に定まる空気力係数、 $(\frac{dC_R}{d\theta})|_{k=0}$: ねじり 1 自由度振動実験で得られたモーメント曲線の勾配、 V : 風速、 $C(k)$: Theodorsen 係数、 R : 計算振動数

によって与えられる。この微分方程式をアナログ回路によつて表わし、フラッターフレード振動のシミュレーションを行つた。また、風の変動成分と正弦波状ガストヒミテルを接続し、Sears 波紋により変動空気力の進減を行い、変動風による応答を考察した。定常風に対するシミュレーション結果は、実験値とほぼ一致しておき、準定常空気力の適用が可能であると考えられる。変動風に対する場合は、单弦振による強制振動を重ね合わせた形であるが、実験と同様に、にわみモードへの影響の大きさなどが認められた。また、自然風のスペクトルがホワイトノイズばかり、長周期構造物の不規則振動と論ずる場合、固有振動数付近のスペクトル値が、かなり大きい特徴を持つこと予測された。

4. お す び

小橋内橋と平板れ構造物として耐風性を論じることには問題があることを指摘し、また歩道橋を搭載する場合には肯定性能上、上下支材の中間位置が適当であると推論し、予想される限界風速を定めた。変動風の影響については不十分ではあるが、にわみモードへの影響が大きいことが認められ。

(参考文献)

- (1) R.H.Searfan & A.Sabzevari, ASCE, EH Division, April, 1968, P.419.
- (2) F.Bleich, Mathematical Theory of Vibration in Suspension Bridges, Bureau of Pub Roads, 1952.
- (3) M.A.Sears, Some Aspects of Non-stationary Airfoil Theory and its Practical Application, JAS, vol 8, 1941.
- (4) 岸井信彦, 変動風による平板の応答について, 構造物の耐風性・アフロシボジウム論文集.

表-1 限界風速 V_{cr}

Model	m/k^2	C_d	$V_{cr} (\text{m/sec})$
T	$m = 0.21$ ($\text{kg} \cdot \text{s}^2/\text{m}^2$)	1.49	5.23
		2.16	15.54
TU	$I = 0.0031$ ($\text{kg} \cdot \text{s}^2$)	1.51	6.99
		2.20	9.99
TM		1.47	8.60
		2.15	13.37
TL		1.51	6.94
		2.00	12.54